



**Physik der
Kondensierten Materie 2**

**Rudolf Gross
SS 2021**

SS 2021

Vorlesungszeit:

Mo. 12. April – Di. 08. Juni 2020

Montag,	10:15 – 11:45h	Hörsaal 2
Montag,	12:30 – 14:00h	Hörsaal 2
Dienstag,	08:30 – 10:00h	Hörsaal 2
Dienstag,	12:15 – 13:45h	Hörsaal 2

Tutorium zu KM 2, SS 2021

Mittwoch,	10:15 – 11:45h	Hörsaal 2
-----------	----------------	-----------



SS 2021

Vorlesung: asynchrones E-Learning

**32 Doppelstunden
ein File pro Doppelstunde**

**Tutorium:
synchrones E-Learning**

**Zoom-Meeting
(Link wird via Email zugeschickt)**

Übungsgruppen KM 2, SS2021

	Zeit	Raum
Übungsgruppe 1	Mo 08:30-10:00 Uhr	Zoom-Meeting
Übungsgruppe 2	Di 16:15-17:45 Uhr	Zoom-Meeting
Übungsgruppe 3	Do 10:15-11:45 Uhr	Zoom-Meeting
Übungsgruppe 4	Do 12:30-14:00 Uhr	Zoom-Meeting

Übungsgruppenleitung: Dr. Stephan Geprägs, Stephan.Gepraegs@wmi.badw.de

synchrones E-Learning

Zoom Meeting

(Link wird via Email verschickt)

Beginn: Mo. 19.04.2021



WMI





**Physik der
Kondensierten Materie 2**

Rudolf Gross

SS 2021

Teil 1

Vorlesungsstunde: 12.04.2021-1

Physik der Kondensierten Materie 1

...eine kurze Wiederholung

WWM

Themen

- **1 Aufbau von Kristallen:**
Klassifizierung von Kristallstrukturen, Richtungen und Ebenen, Defekte, Oberflächen
- **2 Reziprokes Gitter und Strukturanalyse:**
Brillouin-Zonen, von Laue- und Bragg-Bedingung, Struktur- und Atomformfaktor, Debye-Waller-Faktor
- **3 Bindungskräfte:**
Van der Waals, ionische, kovalente und metallische Bindung, Wasserstoffbrückenbindung
- **4 Elastische Eigenschaften:**
Kontinuumsmechanik, Spannung, Dehnung, Elastizitätstensor, elastische Wellen
- **5 Gitterdynamik:**
klassische Theorie des Kristallgitters, Dispersionsrelation der Gitterschwingungen, Phononen
- **6 Thermische Eigenschaften des Kristallgitters:**
spezifische Wärme (klassisch, quantenmechanisch), Debye- und Einstein-Näherung, thermische Ausdehnung, Wärmeleitfähigkeit

Themen

- **7 Das freie Elektronengas:**
Fermi-Gas, Fermi-Energie, Dispersionsrelation, spezifische Wärme, elektrische und thermische Leitfähigkeit, Hall-Effekt
- **8 Elektronen im periodischen Potenzial:**
Bloch-Wellen, Dispersionsrelation und Bandstruktur, Näherung von schwach und stark gebundenen Elektronen, Metalle/Halbmalle/Isolatoren, Fermi-Flächen
- **9 Dynamik von Kristallelektronen:**
Semiklassische Beschreibung, Bewegung in elektrischen und magnetischen Feldern, Streuprozesse, Boltzmann-Transportgleichung, thermoelektrische und thermomagnetische Effekte

Fortsetzung: quantenmechanische Beschreibung der Elektronenbewegung

Kapitel 9

Dynamik von Kristallelektronen

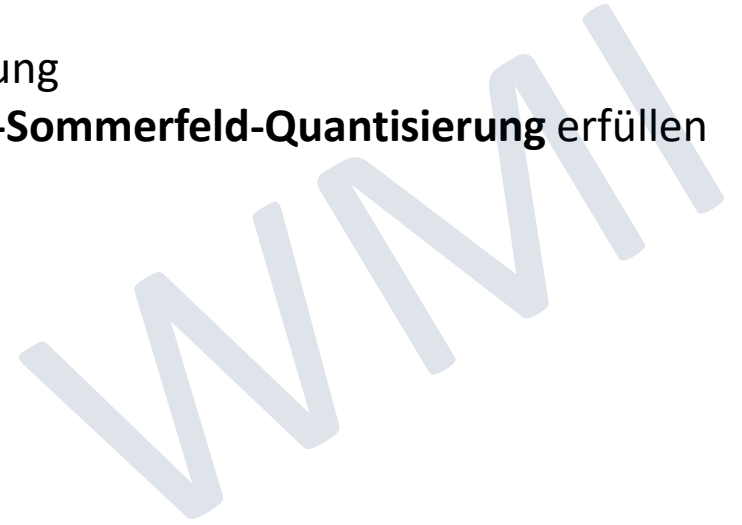
WZL

9.10 Quantisierung von Elektronenbahnen

- *Bewegung von Elektronen im Orts- und k -Raum*

- **bisher:**
 - semiklassische Beschreibung* der Elektronenbewegung
 - Quantenmechanik liefert $\varepsilon(\mathbf{k})$ und damit $\mathbf{v}(\mathbf{k}) = \frac{1}{\hbar} \nabla_{\mathbf{k}} \varepsilon(\mathbf{k})$
 - klassische Bewegungsgleichungen
- } Bahnen in Orts- und k -Raum

- **jetzt:**
 - quantenmechanische Beschreibung* der Elektronenbewegung
 - Elektronen auf geschlossenen Bahnen müssen die **Bohr-Sommerfeld-Quantisierung** erfüllen
 - Phase darf sich nur um $n \cdot 2\pi$ bei einem Umlauf ändern
 - **Quantisierung der Bahnen**



9.10.1 Freie Ladungsträger

- **zuerst:** Bewegung von **freien Ladungsträgern** mit Ladung q in Magnetfeld $\mathbf{B} \parallel \hat{z}$ (Elektronen: $q = -e$)
- **später:** Bewegung von **Bandelektronen** mit Ladung q in Magnetfeld $\mathbf{B} \parallel \hat{z}$

- **Schrödinger-Gleichung:**

$$\frac{1}{2m} \underbrace{\left(\frac{\hbar}{i} \nabla - q\mathbf{A} \right)^2}_{\text{kinem. Impuls}} \Psi = \varepsilon \Psi$$

Eichung: $\mathbf{A} = (0, Bx, 0) \rightarrow \mathbf{B} = \nabla \times \mathbf{A} = (0, 0, B)$

B -Feld in z -Richtung

Operator des kinematischen Impulses $\hbar\mathbf{k}$:

$$\mathbf{p} = \hbar\mathbf{k} + q\mathbf{A} \rightarrow \hbar\mathbf{k} = \mathbf{p} - q\mathbf{A} = \frac{\hbar}{i} \nabla - q\mathbf{A}$$

- mit $\mathbf{A} = (0, Bx, 0)$ lautet die Schrödinger-Gleichung:

$$-\frac{\hbar^2}{2m} \frac{\partial^2 \Psi}{\partial x^2} + \frac{\hbar^2}{2m} \left(\frac{1}{i} \frac{\partial}{\partial y} - \frac{qB}{\hbar} x \right)^2 \Psi - \frac{\hbar^2}{2m} \frac{\partial^2 \Psi}{\partial z^2} = \varepsilon \Psi$$

- **Lösungsansatz:**

$$\Psi(x, y, z) = u(x) \exp[i(\beta y + k_z z)]$$

→ freie Bewegung in z -Richtung parallel zu B , keine Kraftwirkung von B
 → modifizierte Bewegung in xy -Ebene

9.10.1 Freie Ladungsträger

- Einsetzen von $\Psi(x, y, z) = u(x) \exp[i(\beta y + k_z z)]$ in
$$-\frac{\hbar^2}{2m} \frac{\partial^2 \Psi}{\partial x^2} + \frac{\hbar^2}{2m} \left(\frac{1}{i} \frac{\partial}{\partial y} - \frac{qB}{\hbar} x \right)^2 \Psi - \frac{\hbar^2}{2m} \frac{\partial^2 \Psi}{\partial z^2} = \varepsilon \Psi$$

$$\Rightarrow -\frac{\hbar^2}{2m} \frac{\partial^2 u}{\partial x^2} + \frac{\hbar^2}{2m} \left(\beta - \frac{qB}{\hbar} x \right)^2 u = \tilde{\varepsilon} u \quad \text{mit } \tilde{\varepsilon} = \varepsilon - \frac{\hbar^2 k_z^2}{2m} \quad (\text{Energie ohne freie Bewegung in z-Richtung})$$

- Vergleich mit Bewegungsgleichung eines 1D harmonischen Oszillators

$$-\frac{\hbar^2}{2m} \frac{\partial^2 u(x)}{\partial x^2} + \frac{1}{2} m \omega_c^2 \tilde{x}^2 u(x) = \tilde{\varepsilon} u(x) \quad \Rightarrow \quad \tilde{x} = x - \frac{\hbar\beta}{qB} = x - \frac{m \hbar\beta}{qB m} = x - x_0$$

$$\Rightarrow \omega_c = \frac{qB}{m}$$

→ $u(x)$ beschreibt Bewegung eines **1D harmonischen Oszillators**

Schwingungsfrequenz $\omega_c = \frac{eB}{m} = 1.758\,820\,174\,(71) \times 10^{11} \text{ s}^{-1} \times B \text{ [Tesla]}$

Schwerpunktkoordinate $x_0 = \frac{m \hbar\beta}{eB m} = \frac{1}{\omega_c} \frac{\hbar\beta}{m}$

Zyklotronfrequenz

mit ($q = e$)

9.10.1 Freie Ladungsträger

- Eigenenergien des 1D harmonischen Oszillators:

$$\tilde{\varepsilon}_n = \left(n + \frac{1}{2} \right) \hbar\omega_c \quad \longrightarrow$$

Gesamtenergie:

$$\varepsilon_n = \underbrace{\left(n + \frac{1}{2} \right) \hbar\omega_c}_{\text{Kreisbewegung in Ebene } \perp B} + \underbrace{\frac{\hbar^2 k_z^2}{2m}}_{\text{freie Bewegung } \parallel B}$$

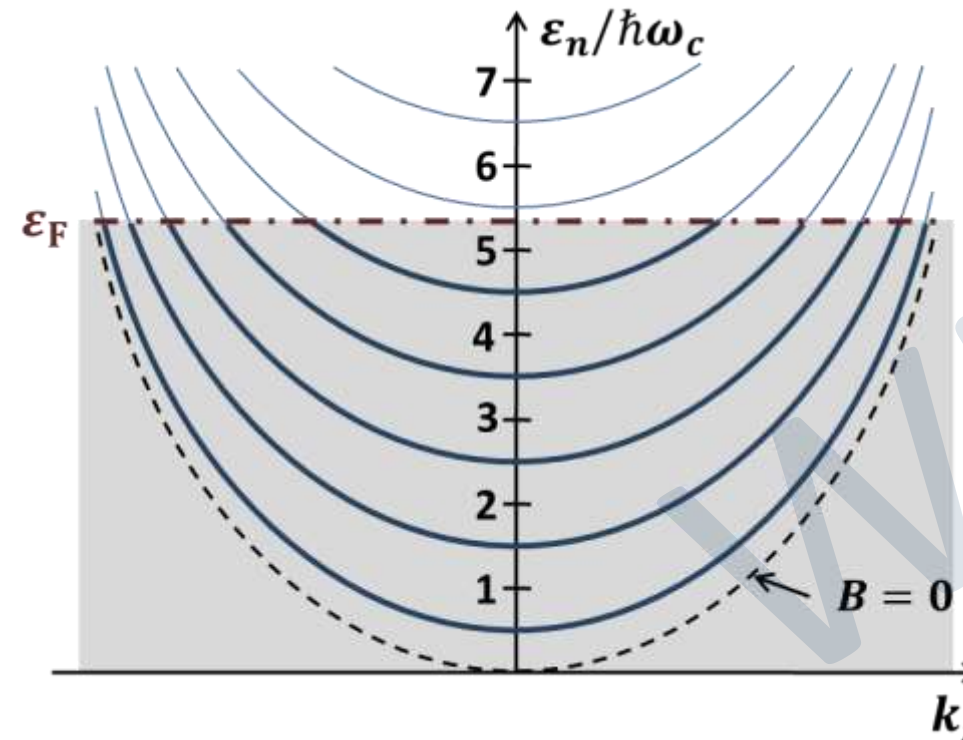
Hinweis:

Spin wird nicht berücksichtigt, erfolgt später bei Diskussion der magnetischen Eigenschaften

Kreisbewegung in Ebene $\perp B$ um Schwerpunktkoordinate x_0 freie Bewegung $\parallel B$

→ parabelförmige Energiebänder der freien Elektronen spalten in Subbänder (**Landau-Niveaus**) mit Abstand $\hbar\omega_c$ auf

Besetzung der Subbänder bei $T = 0$ bis zur Fermi-Energie ε_F



9.10.1 Freie Ladungsträger

- Wie viele Zustände gibt es pro Landau-Niveau, wie groß ist die Entartung des Landau-Niveaus ?

Fall $B = 0$: freie Elektronen in Potenzialkasten mit Abmessungen $L_x, L_y, L_z \rightarrow V = L_x \cdot L_y \cdot L_z$
 Randbedingungen: $k_x = \frac{2\pi}{L_x} n_x, k_y = \frac{2\pi}{L_y} n_y, k_z = \frac{2\pi}{L_z} n_z \quad n_{x,y,z} = \text{ganze Zahl}$
 Zustand nimmt in k -Raum Volumen $(2\pi)^3/V$ ein \rightarrow **Zustandsdichte für eine Spin-Richtung: $1/(2\pi)^3$**

Fall $B \neq 0$: z-Richtung: alles gleich \rightarrow Quantisierung von k_z in Einheiten von $2\pi/L_z$
 in Ebene $\perp B$: Kreisbewegung um Schwerpunktkoordinate $x_0 = \frac{m \hbar \beta}{eB m} = \frac{1}{\omega_c} \frac{\hbar \beta}{m}$
 Randbedingung: x_0 muss innerhalb des Festkörpers liegen $\rightarrow 0 < x_0 < L_x$

\rightarrow Randbedingung für β : $0 < \beta < \frac{m\omega_c}{\hbar} L_x$

\rightarrow Anzahl p der möglichen β -Werte: $p = \left(\frac{m\omega_c}{\hbar} L_x \right) / \left(\frac{2\pi}{L_y} \right) = \hbar\omega_c D_{2D} = L_x L_y B \cdot \frac{e}{2\pi\hbar} = \frac{\Phi}{2\Phi_0}$

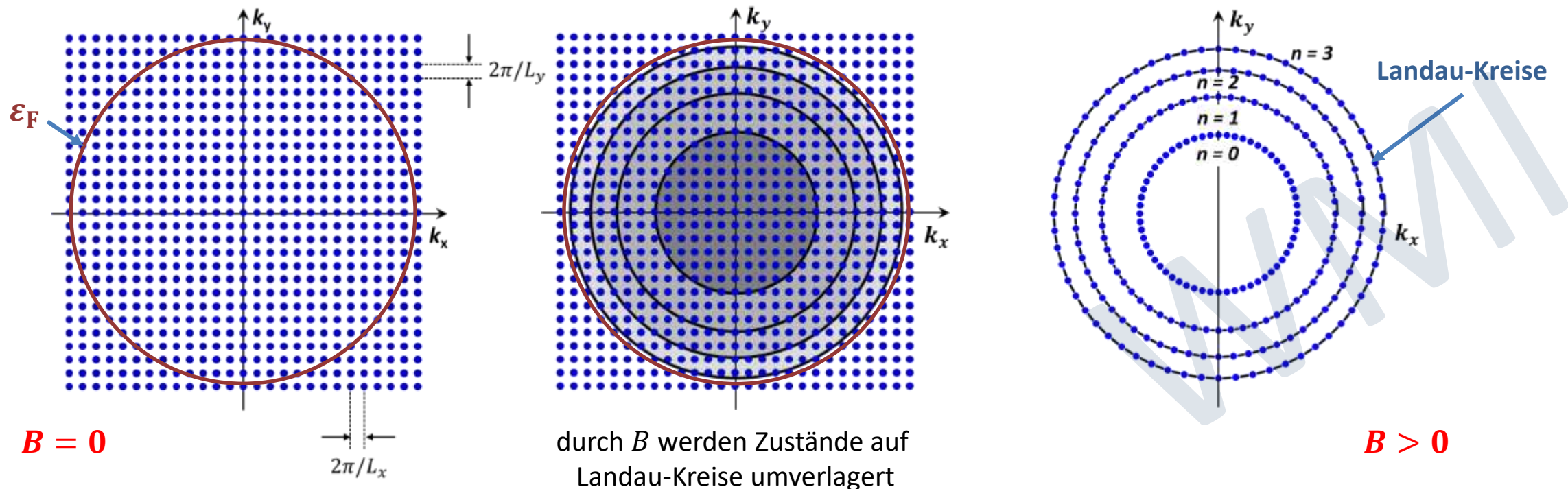
$D_{2D} = \frac{m}{2\pi\hbar^2} L_x L_y$
 2D Zustandsdichte
 für eine Spin-Richtung

magnetischer Fluss Φ
 durch Probenfläche $\perp B$

Flussquant
 $\Phi_0 = \frac{h}{2e}$

9.10.1 Freie Ladungsträger

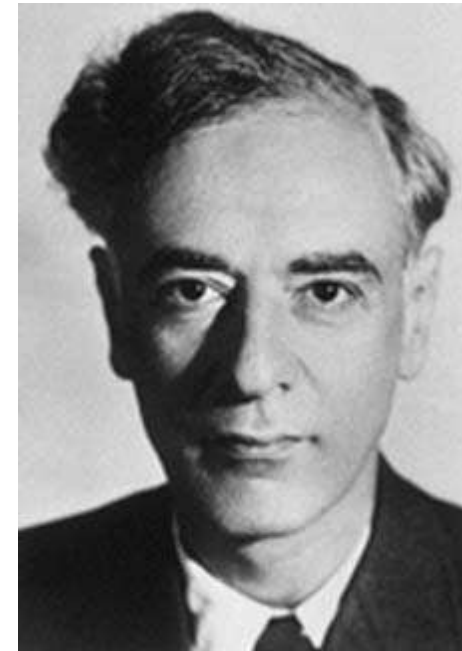
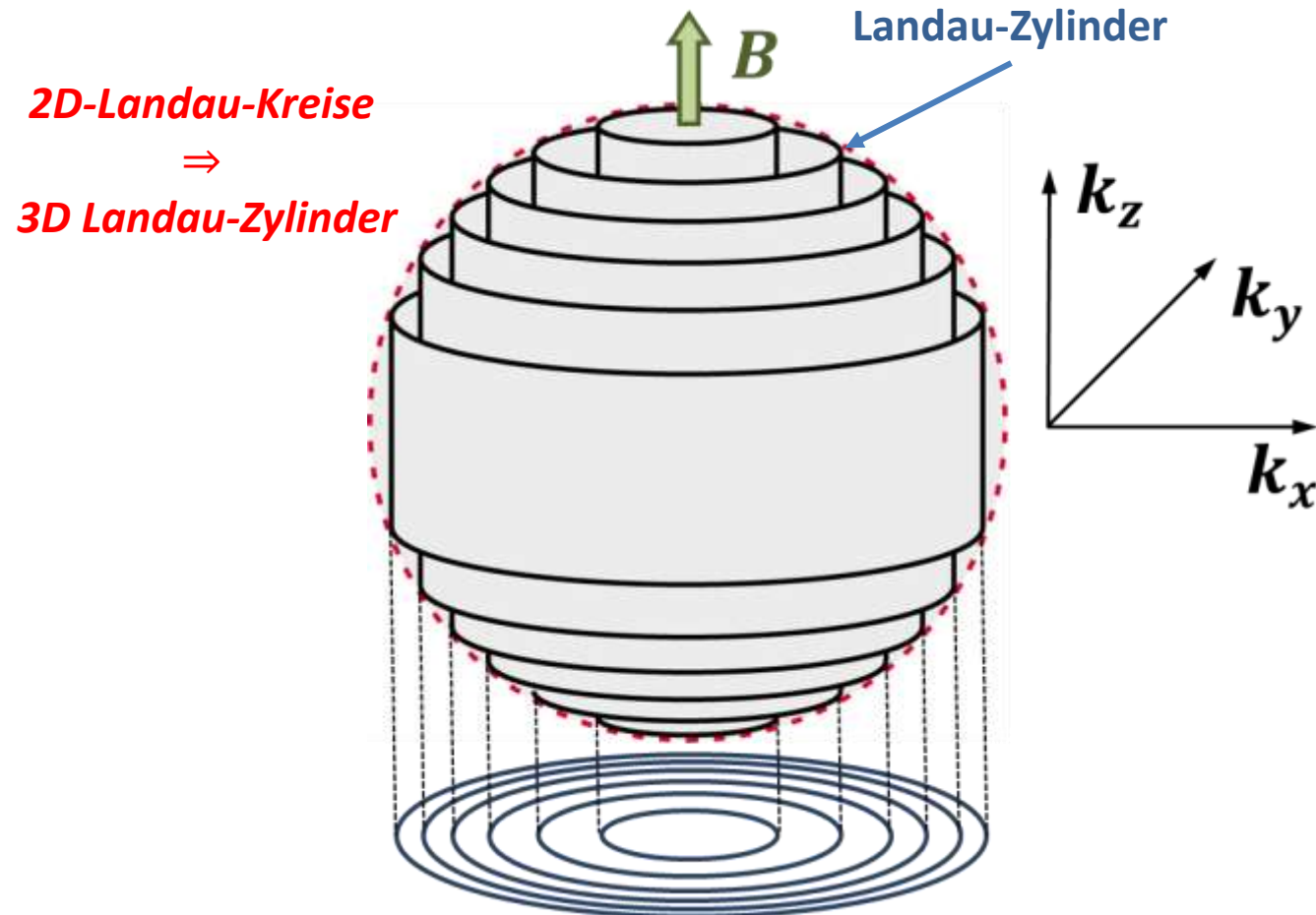
- *Zusammenfassung der wichtigen Fakten*
 - jedes Landauniveau/Energieniveau mit Quantenzahl n ist p -fach entartet
 - Entartung p nimmt mit B und Probengröße $L_x L_y \perp B$ zu
 - Entartung p entspricht 2 x Zahl der Zahl der Flussquanten durch Probenfläche $\perp B$
(Faktor 2 wegen Verwendung des Flussquants aus der Supraleitung $h/2e$)
- *Darstellung der p Niveaus mit Eigenenergie $\varepsilon_n = \left(n + \frac{1}{2}\right) \hbar\omega_c$ für ein 2D-System ($k_z = 0$)*



9.10.1 Freie Ladungsträger

- Im Dreidimensionalen kommt noch **freie Bewegung** || **B dazu:**

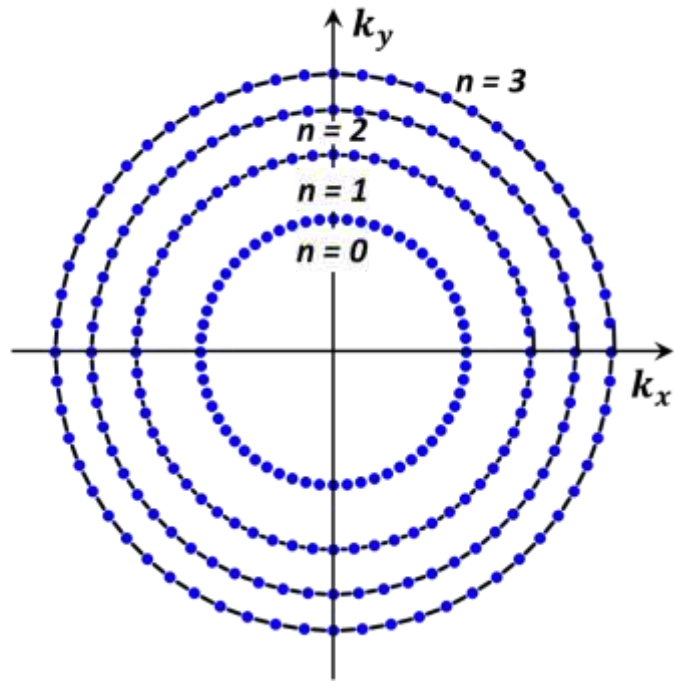
$$\varepsilon_n = \left(n + \frac{1}{2} \right) \hbar \omega_c + \frac{\hbar^2 k_z^2}{2m}$$



Lev Dawidowitsch Landau (1908 - 1968)
 Nobelpreis für Physik 1962

9.10.1 Freie Ladungsträger

- die von den Landau-Kreisen/Zylindern umschlossenen Flächen $S_n = \pi k_{\perp,n}^2$ sind quantisiert
- die Flächendifferenz $\Delta S = S_{n+1} - S_n$ ist konstant



Entartung p :

$$p = \frac{\text{Fläche in } k\text{-Raum}}{\text{Zustandsichte in } k\text{-Raum}}$$

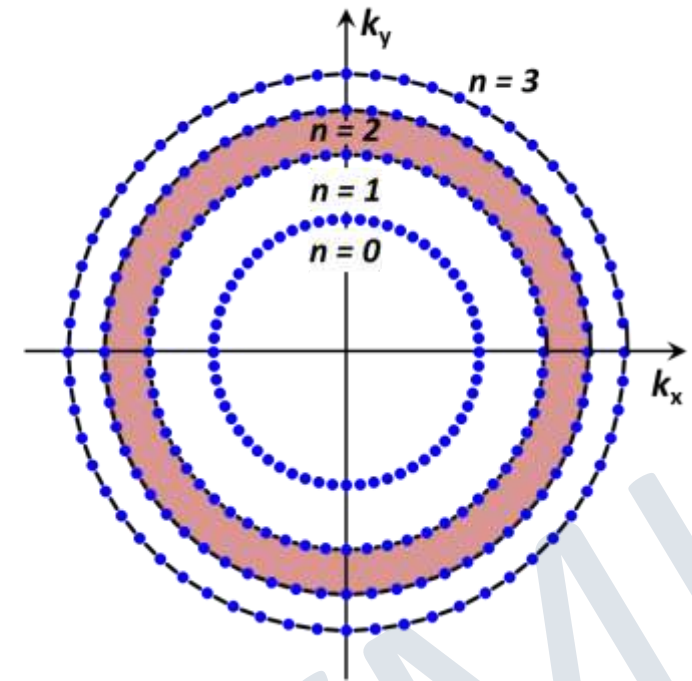
$$p = \frac{\Delta S}{(2\pi)^2/L_x L_y}$$

$$p = \frac{2\pi eB}{\hbar} \cdot \frac{L_x L_y}{4\pi^2}$$

$$p = L_x L_y B \frac{e}{\hbar} = \frac{\Phi}{2\Phi_0}$$

aus $\varepsilon_n = \left(n + \frac{1}{2}\right) \hbar\omega_c = \frac{\hbar^2 k_{\perp,n}^2}{2m}$ folgt Kreisradius

$$k_{\perp,n} = \sqrt{\frac{2m}{\hbar^2} \left(n + \frac{1}{2}\right) \hbar\omega_c} = \sqrt{\left(n + \frac{1}{2}\right) \frac{2eB}{\hbar}}$$



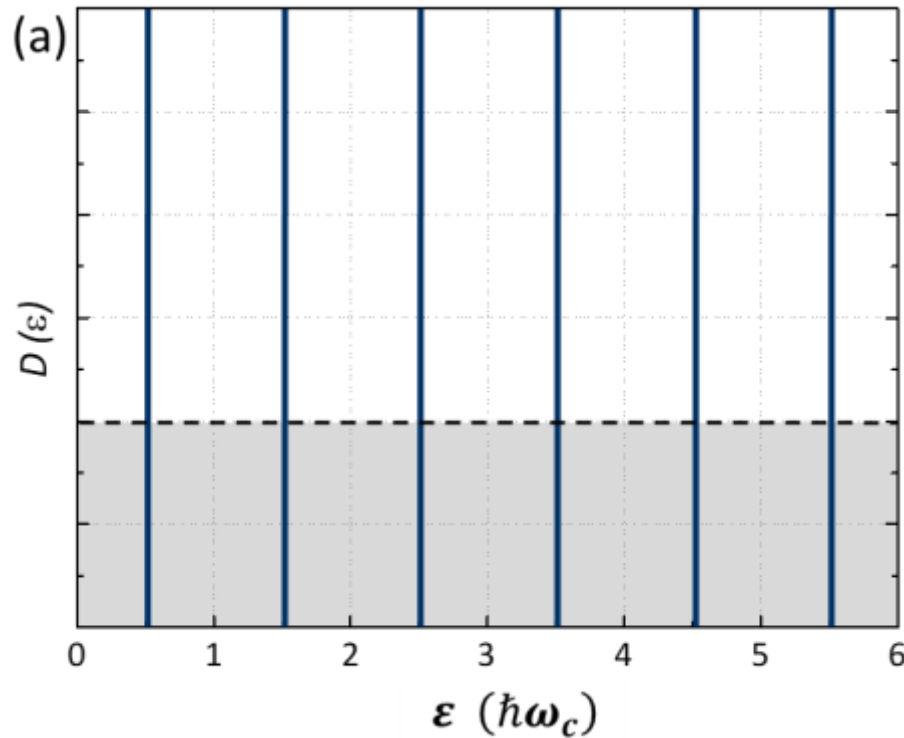
$$\Delta S = S_{n+1} - S_n = \pi(k_{\perp,n+1}^2 - k_{\perp,n}^2)$$

$$\Delta S = \pi \left[\left(n + 1 + \frac{1}{2}\right) - \left(n + \frac{1}{2}\right) \right] \frac{2eB}{\hbar}$$

$$\Delta S = \frac{2\pi eB}{\hbar}$$

9.10.2 Zustandsdichte im Energieraum

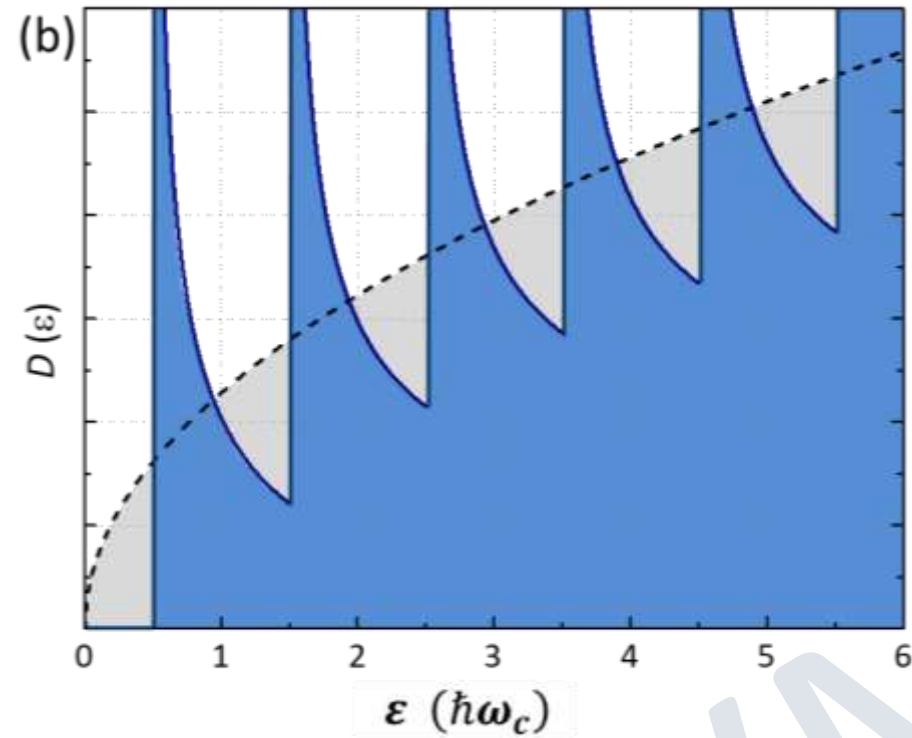
- Wie wird Zustandsdichte $D(\varepsilon)$ durch Magnetfeld modifiziert ?



2D freies Elektronengas

$B = 0:$ $D(\varepsilon) = \frac{L_x L_y}{4\pi} \left(\frac{2m}{\hbar^2} \right) = \text{const.}$ (eine Spin-Richtung)

$B > 0:$ $D(\varepsilon) =$ Summe von δ -Funktionen mit Gewicht p und Abstand $\hbar\omega_c$



3D freies Elektronengas

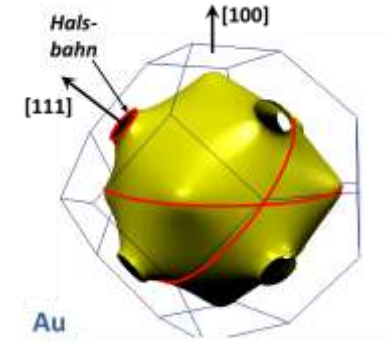
$B = 0:$ $D(\varepsilon) = \frac{L_x L_y L_z}{4\pi^2} \left(\frac{2m}{\hbar^2} \right)^{3/2} \sqrt{\varepsilon} \propto \sqrt{\varepsilon}$ (eine Spin-Richtung)

$B > 0:$ $D(\varepsilon) =$ Überlagerung der Zustandsdichte von 2D-System $\perp B$ und 1D-Zustandsdichte $\propto 1/\sqrt{\varepsilon}$ durch freie Bewegung $\parallel B$

9.10.3 Kristallelektronen

- *Jetzt: Ladungsträger im periodischen Potenzial des Kristallgitters*

➔ Bahnen sind jetzt keine Kreisbahnen mehr
(Abweichungen durch Wirkung des Kristallpotenzials)



Ausgangspunkt: *Bohr-Sommerfeld-Quantisierung*

Quantisierungsregeln: $\frac{1}{2\pi} \oint p_\varphi d\varphi = \hbar(\ell + 1), \quad \ell = 0,1,2,3, \dots$ (Quantisierung des Dreimpulses)

$$\frac{1}{2\pi} \oint p_r dr = \hbar(n + \gamma), \quad n = 0,1,2,3, \dots$$

hierbei sind $\varphi, p_\varphi = mr^2\dot{\varphi}$ und $r, p_r = m\dot{r}$ **Paare von kanonisch konjugierten Orts- und Impulsvariablen**
(die Korrektur γ muss durch mit Näherungsverfahren ermittelt werden, für harmonischen Oszillator ist $\gamma = 1/2$)

insgesamt gilt: $\frac{1}{2\pi} \oint \mathbf{p} \cdot d\mathbf{r} = \hbar(n + \gamma), \quad n = 0,1,2,3, \dots$

mit kanonischem Impuls $\mathbf{p} = \hbar\mathbf{k} + q\mathbf{A} = q\mathbf{r} \times \mathbf{B} + q\mathbf{A}$ erhalten wir:
(wir benutzen $\hbar\dot{\mathbf{k}} = q\mathbf{v} \times \mathbf{B} = q\dot{\mathbf{r}} \times \mathbf{B}$ und integrieren über Zeit)

$$\frac{1}{2\pi} \oint \mathbf{p} \cdot d\mathbf{r} = \frac{1}{2\pi} \oint (q\mathbf{r} \times \mathbf{B} + q\mathbf{A}) \cdot d\mathbf{r} = \hbar(n + \gamma), \quad n = 0,1,2,3, \dots$$

9.10.3 Kristallelektronen

$$\oint \mathbf{p} \cdot d\mathbf{r} = \underbrace{\oint (q\mathbf{r} \times \mathbf{B}) \cdot d\mathbf{r}} + \underbrace{\oint q\mathbf{A} \cdot d\mathbf{r}} = 2\pi \hbar(n + \gamma), \quad n = 0, 1, 2, 3, \dots$$

$$q \oint (\mathbf{r} \times \mathbf{B}) \cdot d\mathbf{r} = -q\mathbf{B} \cdot \oint \mathbf{r} \times d\mathbf{r} = -2q\Phi$$

$$\oint q\mathbf{A} \cdot d\mathbf{r} = q \int (\nabla \times \mathbf{A}) \cdot d\mathbf{F} = q \int \mathbf{B} \cdot d\mathbf{F} = q\Phi$$

$$\mathbf{a} \cdot (\mathbf{b} \times \mathbf{c}) = -\mathbf{c} \cdot (\mathbf{b} \times \mathbf{a})$$

$$\oint \mathbf{r} \times d\mathbf{r} = 2A \hat{\mathbf{n}}$$

(A = von der Bahn
umschlossene Fläche,
 $\Phi = A \mathbf{B} \cdot \hat{\mathbf{n}} =$ Fluss durch A)

Satz von Stokes

- *Insgesamt erhalten wir*

$$\oint \mathbf{p} \cdot d\mathbf{r} = -q\Phi = -qBA = 2\pi \hbar(n + \gamma), \quad n = 0, 1, 2, 3, \dots$$

→ *von Bahnen umschlossene Flächen und der von ihnen eingeschlossene magnetische Fluss sind quantisiert !*

$$A_n = \frac{2\pi \hbar(n + \gamma)}{qB}, \quad \Phi_n = BA_n = (n + \gamma) \frac{h}{q} = (n + \gamma) 2\Phi_0$$

(mit $\Phi_0 = h/2e$)

9.10.3 Kristallelektronen

- *Zusammenhang zwischen quantisierten Flächen A_n im Ortsraum und S_n im k -Raum*

aus $\hbar \dot{\mathbf{k}} = q\mathbf{v} \times \mathbf{B} = q\dot{\mathbf{r}} \times \mathbf{B}$ erhalten wir durch Zeitintegration $\hbar \mathbf{k} = q\mathbf{r} \times \mathbf{B}$ bzw. $|d\mathbf{r}| = \frac{\hbar}{qB} |d\mathbf{k}|$ und somit

$$A_n = \left(\frac{\hbar}{qB} \right)^2 S_n$$

mit $|A_n| = \frac{\Phi_n}{B} = (n + \gamma) \frac{h}{|q|}$ folgt $|S_n| = \frac{(n+\gamma)2\pi qB}{\hbar}$ und damit für die Flächendifferenz $\Delta S = S_{n+1} - S_n$

$$\Delta S = S_{n+1} - S_n = [n + 1 + \gamma - (n + \gamma)] \frac{2\pi qB}{\hbar}$$

$$\Delta S = \frac{2\pi qB}{\hbar} = \frac{2\pi m_c}{\hbar} \hbar \omega_c$$

→ *gleiches Ergebnis wie für freie Ladungsträger !!*

mit $\omega_c = qB/m_c$, $m_c =$ Zyklotronmasse

- *für Experiment interessant: Welche Feldänderung ist notwendig, um S_n gleich groß wie S_{n+1} zu machen?*

aus $S_{n+1} = (n + \gamma + 1) \frac{2\pi qB_{n+1}}{\hbar} = S_n = (n + \gamma) \frac{2\pi qB_n}{\hbar} = S$ folgt $\frac{1}{B_{n+1}} = (n + \gamma + 1) \frac{2\pi q}{\hbar S}$ und $\frac{1}{B_n} = (n + \gamma) \frac{2\pi q}{\hbar S}$

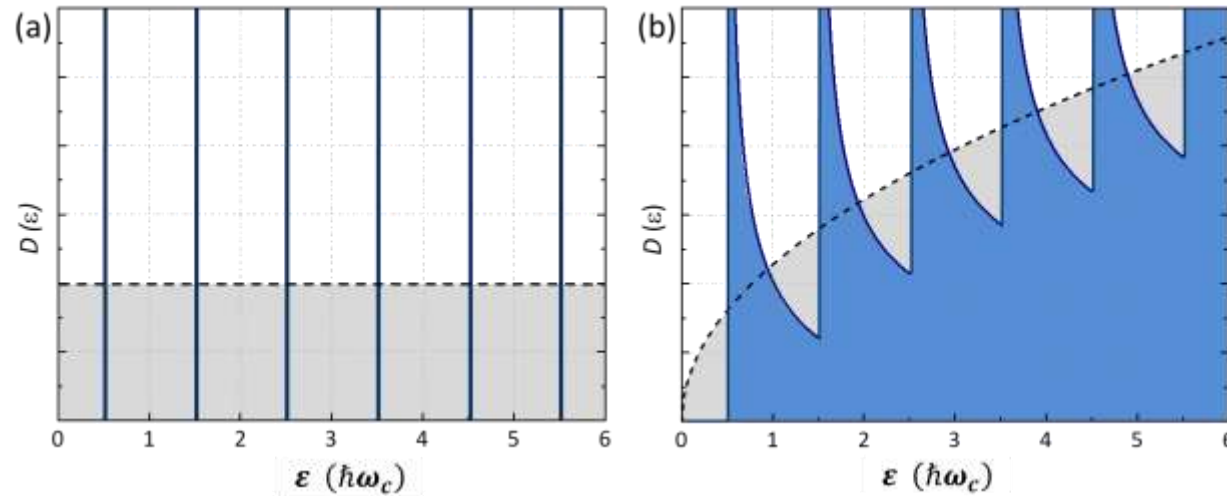
$$\Delta = \left(\frac{1}{B_{n+1}} - \frac{1}{B_n} \right) = \frac{2\pi q}{\hbar S}$$

→ *gleiche Zunahmen in $1/B$ führen zu gleichen Bahnen in k -Raum*
 → *viele physikalische Größen zeigen $1/B$ – Periodizität*

→ *Quantenoszillationen*

9.10.3 Kristallelektronen

- Wann können wir Phänomene, die mit Quantisierung der Bahnen zusammenhängen, experimentell beobachten?



→ der energetische Abstand von Landau-Niveaus muss größer als die thermische Energie sein

$$\hbar\omega_c = \frac{\hbar qB}{m_c} > k_B T$$

$$\frac{B}{T} > \frac{m_c k_B}{q\hbar} = 0.78 \left[\frac{\text{T}}{\text{K}} \right]$$

→ hohe B und niedrige T

→ die energetische Verbreiterung der Landau-Niveaus durch die endliche Streuzzeit τ der Ladungsträger muss kleiner als $\hbar\omega_c$ sein

$$\Delta\varepsilon \simeq \frac{\hbar}{\tau} < \hbar\omega_c$$

$$\omega_c \tau = \frac{qB}{m_c} \tau > 1$$

→ hohe B und reine Proben

Zusammenfassung: Teil 1a, 12.04.2021/1

• Quantisierung der Bahnen freier Ladungsträger ($q = +e$) im Magnetfeld

Wellen auf geschlossenen Bahnen müssen Bohr-Sommerfeld-Quantisierung erfüllen

- **Schrödinger-Gleichung:** $\frac{1}{2m} \left(\frac{\hbar}{i} \nabla - q\mathbf{A} \right)^2 \Psi = \varepsilon \Psi$ Eichung: $\mathbf{A} = (0, Bx, 0) \rightarrow \mathbf{B} = \nabla \times \mathbf{A} = (0, 0, B)$

Operator des kinematischen Impulses: $p = \hbar k + qA \rightarrow \hbar k = p - qA = \frac{\hbar}{i} \nabla - qA$

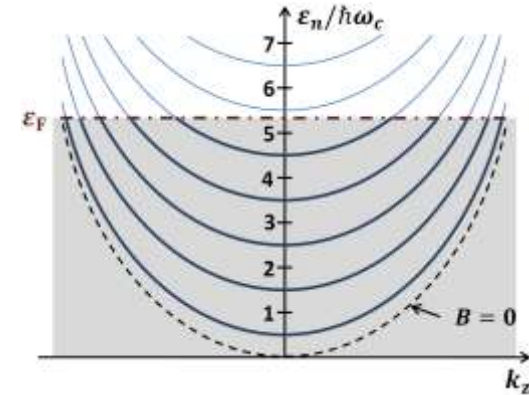
- Lösung ergibt Eigenenergien:

Subbänder: Landau-Niveaus $\varepsilon_n = \left(n + \frac{1}{2} \right) \hbar \omega_c + \frac{\hbar^2 k_z^2}{2m}$

Kreisbewegung in Ebene senkrecht zu B freie Bewegung || B

Zyklotron-Frequenz:

$$\omega_c = \frac{eB}{m} = 1.758\,820\,174\,(71) \times 10^{11} \text{ s}^{-1} \times B [\text{Tesla}]$$



• Entartung der Landau-Niveaus (für eine Spin-Richtung)

$$p = \left(\frac{m\omega_c}{\hbar} L_x \right) / \left(\frac{2\pi}{L_y} \right) = \hbar \omega_c D_{2D} = L_x L_y B \cdot \frac{e}{2\pi\hbar} = \frac{\Phi}{2\Phi_0}$$

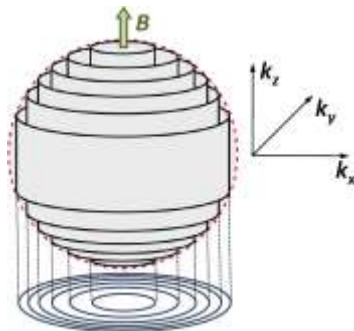
$$D_{2D} = \frac{m}{2\pi\hbar^2} L_x L_y$$

Fluss durch Fläche $\perp B$

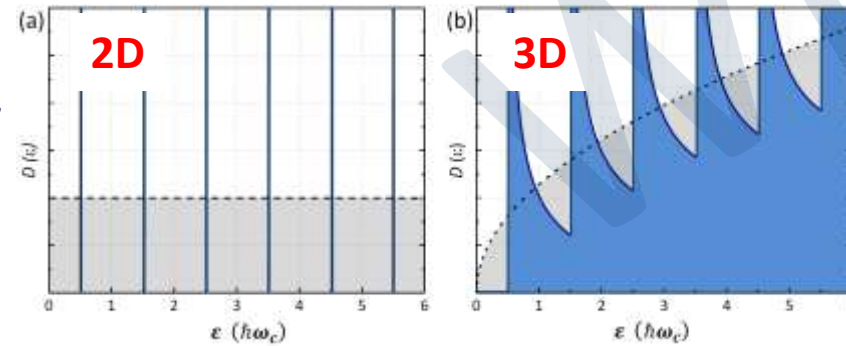
$$2\Phi_0 \quad (\Phi_0 = \frac{h}{2e} = \text{Flussquant})$$

wie viele Zustände gibt es zu jedem möglichen Wert von k_z in $k_x k_y$ -Ebene ?

Landau-Zylinder:



Zustandsdichte im Magnetfeld:



Zusammenfassung: Teil 1b, 12.04.2021/1

• Bahnquantisierung für Kristallelektronen ($q = +e$)

Korrekturfaktor γ

- Quantisierungsbedingung wie für freie Ladungsträger:

$$\frac{1}{2\pi} \oint \mathbf{p} \cdot d\mathbf{r} = \hbar(n + \gamma), \quad n = 0, 1, 2, 3, \dots$$

mit kanonischem Impuls $\mathbf{p} = \hbar\mathbf{k} + q\mathbf{A} = q\mathbf{r} \times \mathbf{B} + q\mathbf{A}$ erhalten wir:

$$\oint \mathbf{p} \cdot d\mathbf{r} = -q\Phi = -qBA = 2\pi\hbar(n + \gamma), \quad n = 0, 1, 2, 3, \dots$$

→ von Bahnen umschlossene Flächen und der von ihnen eingeschlossene magnetische Fluss sind quantisiert!

$$A_n = \frac{2\pi\hbar(n + \gamma)}{qB}, \quad \Phi_n = BA_n = (n + \gamma) \frac{h}{q} = (n + \gamma) 2\Phi_0 \quad (\text{mit } \Phi_0 = h/2e)$$

- aus $\hbar\mathbf{k} = e\mathbf{r} \times \mathbf{B}$ folgt $|dr| = \frac{\hbar}{eB} |dk|$ folgt:

$$A_n = \left(\frac{\hbar}{qB} \right)^2 S_n \quad S_n = \frac{(n + \gamma) 2\pi q B}{\hbar}$$

- Fläche zwischen benachbarten Landau-Zylindern:

$$\Delta S = \frac{2\pi q B}{\hbar} = \frac{2\pi m_c}{\hbar} \hbar\omega_c$$

• Welches ΔB führt zu gleichen Flächen aufeinanderfolgender Landau-Zylinder?

aus $(n + \gamma + 1) \frac{2\pi q B_{n+1}}{\hbar} = S_n = (n + \gamma) \frac{2\pi q B_n}{\hbar} = S$ folgt:

$$\Delta = \left(\frac{1}{B_{n+1}} - \frac{1}{B_n} \right) = \frac{2\pi q}{\hbar S}$$

→ gleiche Zunahme in $1/B$ führt zu gleichen Bahnen im k -Raum

→ $1/B$ -Oszillationen von physikalischen Größen

• Voraussetzungen für experimentelle Beobachtung von $1/B$ Oszillationen

- Abstand benachbarter Landau-Niveaus groß gegen $k_B T$: $\hbar\omega_c > k_B T \rightarrow \frac{B}{T} > \frac{m_c k_B}{\hbar q} = 0.78 \text{ T/K}$

→ hohe B/T

- genügend lange Streuzzeit τ : $\Delta\varepsilon \approx \frac{\hbar}{\tau} < \hbar\omega_c \rightarrow \omega_c \tau = \frac{qB}{m_c} \tau > 1$

→ hohe B , tiefe T und reine Proben